

## LEZIONE 6

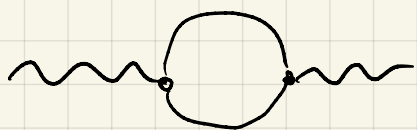
Correzioni radiative: includiamo contributo a 1 loop

→ nelle predizioni teoriche delle osservabili che abbiamo usato per estrarre  $\alpha$ ,  $v$  e  $S$

→ nelle predizioni teoriche delle osservabili  $M_W$  e  $A_e$  che usiamo per verificare MS

Tutte queste osservabili contengono propagatori dei bosoni vettori elettrodeboli  $W^\pm$ ,  $Z$  e  $\gamma$ .

Una correzione importante da includere è la correzione a 1 loop a questi propagatori:



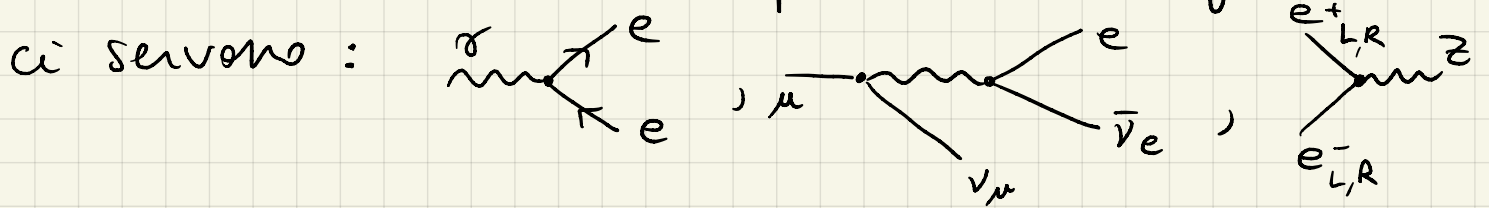
"correzioni oblique"

I contributi più importanti vengono dai loop di  $H$  e dei quark  $t, b$ . Ha senso includere una sola generazione perché si trovano risultati gauge-invarianti generazione per generazione.

Vediamo prima come queste correzioni cambiano le osservabili, parametrizzando la correzione a un loop, e poi calcoliamo il valore.

$$\vec{w}_\mu \text{ (1PI) } \vec{w}_\nu = i \Pi(p^2) g^{\mu\nu} + i \Pi^{PP}(p^2) p^\mu p^\nu$$

Possiamo scontare  $\Pi^{PP}$  perché nei diagrammi che



si accoppiano a correnti conservate o approssimativamente conservate alla scala che ci interessa.

Includendo questa correzione il propagatore diventa:

$$\text{wavy} = \frac{-i g_{\mu\nu}}{p^2 - m^2} + p^\mu p^\nu \text{ terms}$$

$$\begin{aligned} & \text{wavy} + \text{wavy (1PI)} + \text{wavy (1PI) (1PI)} + \dots \\ & = \frac{-i g_{\mu\nu}}{p^2 - m^2 - \Pi(p^2)} + p^\mu p^\nu \text{ terms} \end{aligned} \left| \begin{array}{l} \text{per } W \text{ o } Z \\ \text{indichiamo come:} \\ \Pi_{WW} \text{ o } \Pi_{ZZ} \end{array} \right.$$

$$\Rightarrow \text{polo: soluzione di } p^2 - m^2 - \Pi(p^2) = 0$$

Soluzione perturbativa:  $p^2 = m^2 + \text{correzioni}$

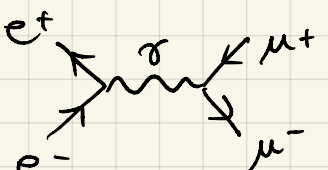
$$\Rightarrow m_{\text{pole}}^2 = m^2 + \text{Re}[\Pi(m^2)] \quad (\text{NOTAZIONE: } \text{Re}[\Pi] \equiv \Pi^R)$$

qui possiamo trascurare le correzioni perché  $\Pi$  è già subleading. Parte immaginaria:  $M_{\text{pole}} \times \Gamma$ . [2]

Per il fotone non c'è  $m$  ma la forma della correzione è analoga:  $-i \frac{g_{\mu\nu}}{p^2} \mapsto -i \frac{g_{\mu\nu}}{p^2 - \Pi_{\gamma\gamma}(p^2)}$

Invariante di gauge  $U(1)_{em}$ :  $\Pi_{\gamma\gamma}(p^2) \underset{p \rightarrow 0}{\propto} \mathcal{O}(p^2)$

\* Correzione a  $\alpha_e(M_Z)$ : per essere giusti alle scale  $M_Z$ , invece che  $g_e^{-2}$  possiamo considerare uno scattering alla scale  $E_{cm} = M_Z$ , ad esempio  $e^+e^- \rightarrow \mu^+\mu^-$ :



$S = (p_1 + p_2)^2 = M_Z^2$

Indicando con un hat la predizione al tree-level:

$$\hat{\sigma}_{tot} = \frac{\hat{e}^4(M_Z)}{12\pi M_Z^2} = \frac{4\pi}{3} \frac{\hat{\alpha}^2(M_Z)}{M_Z^2}$$

con la correzione a un loop abbiamo: propagatore del  $\gamma$ :

$$\sigma_{tot} = \frac{4\pi}{3} \frac{\alpha^2(M_Z)}{M_Z^2} \left( \frac{M_Z^2}{M_Z^2 - \Pi_{\gamma\gamma}^R(M_Z^2)} \right)^2$$

lineare in  $M$  quadratico in  $\hat{\sigma}$ .

$$\left[ \hat{\alpha}(M_Z) = \alpha(M_Z) \frac{1}{1 - \frac{1}{M_Z^2} \Pi_{\gamma\gamma}^R(M_Z^2)} \approx \alpha(M_Z) \left( 1 + \frac{\Pi_{\gamma\gamma}^R(M_Z^2)}{M_Z^2} + \dots \right) \right]$$

tree-level parametro  $\overline{MS}$  in  $\mathcal{L}$  sviluppo perturbativo fino a 1-loop

Equivalentemente, possiamo pensare a  $\hat{\alpha}(M_Z)$  come la quantità nello schema on-shell, definita con una condizione di rinormalizzazione alla scala  $M_Z$ :

$$\hat{\alpha}(Q) \equiv \frac{3Q^2}{4\pi} \sigma_{\text{tot}}(e^+e^- \rightarrow \mu^+\mu^-) \Big|_{s=Q^2}$$

e quindi quello che stiamo facendo è collegare il valore del parametro nello schema on-shell, che è direttamente legato alle misura, al valore nello schema  $\overline{MS}$ , più pratico per calcolare correzioni radiative nelle altre osservabili che vogliamo verificare.

\* Correzione a  $\Gamma_\mu$ : il decadimento è mediato

dal propagatore del W, quindi:

$$\Gamma = \left( G_F^2 \frac{M_\mu^2}{192\pi^3} \right) f\left(\frac{M_e^2}{M_\mu^2}\right)$$

$$= \left( G_F^2 \left( \frac{M_W^2}{M_W^2 + \Pi_{WW}^R(0)} \right)^2 \frac{M_\mu^2}{192\pi^3} \right) f\left(\frac{M_e^2}{M_\mu^2}\right)$$

$$\hat{v}^2 = v^2 \left( 1 + \frac{1}{M_W^2} \Pi_{WW}^R(0) \right)$$

\* Correzione a  $M_Z$ : questa è la formula che abbiamo visto per il cambiamento delle pole-mass:

$$\hat{M}_Z^2 = M_Z^2 + \Pi_{ZZ}^R(M_Z^2) = M_Z^2 \left( 1 + \frac{1}{M_Z^2} \Pi_{ZZ}^R(M_Z^2) \right)$$

Stesso commento per le altre quantità con hat  $\hat{v}$  e  $\hat{M}_Z$ : le possiamo pensare come valori dei coupling nello schema on-shell, e ce le stiamo calcolando in funzione dei coupling in  $\overline{MS}$ .

Nota che usare  $\hat{v}$  e  $\hat{M}_Z$  è equivalente a usare  $\hat{v}$  e  $\hat{S}$ , sono legati dalle formule tree-level.

Coupling  $\overline{MS}$  in funzione delle osservabili

(equivalentemente: dei coupling in schema on-shell)

Invertendo fino all'ordine 1 loop le relazioni sopra, troviamo:

$$\alpha_e(M_Z) = \hat{\alpha}_e(M_Z) \left( 1 - \frac{\Pi_{\gamma\gamma}^R(M_Z^2)}{M_Z^2} \right)$$

$$v^2 = \hat{v}^2 \left( 1 - \frac{1}{M_W^2} \Pi_{WW}^R(0) \right)$$

$$S^2(1-S^2) = \frac{\pi \alpha v^2}{M_Z^2} = \hat{S}^2(1-\hat{S}^2) \left( 1 + \Pi_{tot} \right)$$

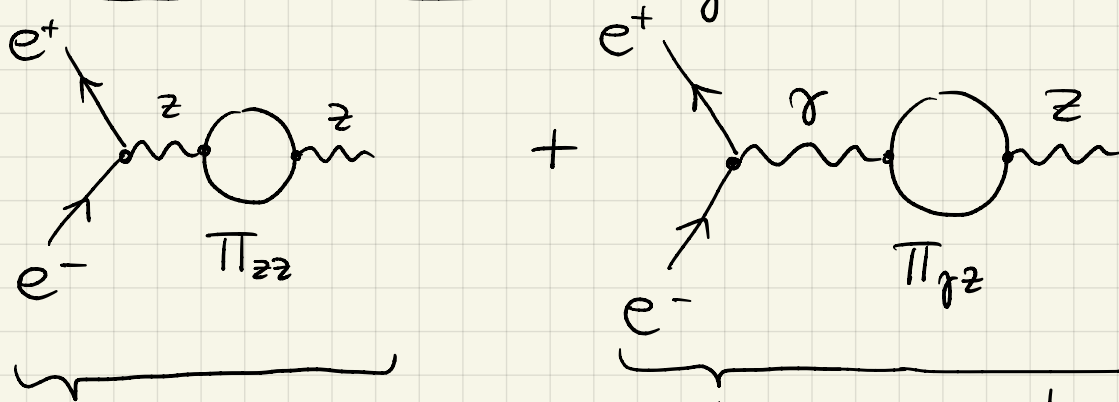
$$\Pi_{tot} \equiv \frac{1}{M_Z^2} \Pi_{ZZ}^R(M_Z^2) - \frac{1}{M_W^2} \Pi_{WW}^R(0) - \frac{1}{M_Z^2} \Pi_{\gamma\gamma}^R(M_Z^2)$$

Dobbiamo anche correggere le osservabili che usiamo per fare il check

\* Correzione a  $M_W$ : anche qui, abbiamo già visto le formule

$$\hat{M}_W^2 = M_W^2 + \Pi_{WW}^R(M_W^2), \text{ con } M_W^2 = \frac{\pi \alpha v^2}{s^2}$$

\* Correzione a  $A_e$ : diagrammi a 1-loop



questo contributo si cancella nel rapporto, non cambia il coefficiente relativo L/R;

questo invece cambia il coefficiente relativo!

Definiamo l'asimmetria con momento  $p^2 = M_W^2$  sulla zampa del vettore.

$$\mathcal{L}_{int}^{eff} \supseteq \frac{g_z}{\cos \theta_w} Z_\mu \left( \left( \frac{1}{2} - \sin^2 \theta_w \right) \bar{e}_L \gamma^\mu e_L - \sin^2 \theta_w \bar{e}_R \gamma^\mu e_R \right)$$

$$+ \underbrace{\left( g_z \sin \theta_w \right)}_{J_{em}^\mu} \frac{\Pi_{\gamma z}(M_W^2)}{M_Z^2} Z_\mu \left( \bar{e}_L \gamma^\mu e_L + \bar{e}_R \gamma^\mu e_R \right)$$